

Московский Государственный Университет имени М. В.  
Ломоносова

Механико-математический факультет

**Отчёт по численному решению краевой задачи  
для уравнения четвёртого порядка**

Выполнил:  
студент 411 группы  
Орлов Михаил

Москва, 2024

## Содержание

<b>1</b>	<b>Постановка задачи</b>	<b>2</b>
<b>2</b>	<b>Метод решения</b>	<b>2</b>
2.1	Преобразование уравнения четвертого порядка в систему ОДУ первого порядка . . . . .	2
2.2	Метод стрельбы . . . . .	3
2.3	Определение коэффициентов $C_1$ и $C_2$ . . . . .	4
2.4	Численное интегрирование методом Рунге-Кутты второго порядка . . . . .	4
2.5	Реализация алгоритма . . . . .	4
2.6	Исследование устойчивости и сходимости . . . . .	5
2.7	Доказательство второго порядка точности метода Рунге-Кутты второго порядка . . . . .	5
<b>3</b>	<b>Графики зависимости <math>u(x)</math> от <math>h</math></b>	<b>6</b>
<b>4</b>	<b>Проверка корректности программы</b>	<b>8</b>
4.1	Методика проверки . . . . .	9
4.2	Критерии успешности проверки . . . . .	9
4.3	Графики проверки . . . . .	10
<b>5</b>	<b>Анализ графиков на устойчивость и сходимость</b>	<b>10</b>
5.1	Метод определения порядка сходимости . . . . .	10
5.2	Таблицы данных . . . . .	11
5.3	Зависимость максимальной ошибки от шага $h$ . . . . .	11
5.4	Зависимость среднеквадратичной ошибки от шага $h$ . . . . .	12
5.5	Выводы . . . . .	12
<b>6</b>	<b>Используемые языки и библиотеки</b>	<b>12</b>
6.1	C++ . . . . .	12
6.2	Python . . . . .	13
6.3	Makefile . . . . .	13

## 1 Постановка задачи

Построить разностную схему со вторым порядком аппроксимации и найти её решение при различных значениях  $h$ :

$$u^{(4)} + u^{(3)} + \sin x \cdot u = e^{x^2},$$

с граничными условиями:

$$u(0) = u'(0) = 0, \quad u(1) = 1, \quad u'(1) = 0.$$

## 2 Метод решения

Для решения данной краевой задачи четвертого порядка мы используем метод стрельбы в сочетании с численным методом Рунге-Кутты второго порядка. Основная идея состоит в том, чтобы преобразовать исходное дифференциальное уравнение четвертого порядка в систему обыкновенных дифференциальных уравнений (ОДУ) первого порядка и затем решить эту систему с учетом граничных условий.

### 2.1 Преобразование уравнения четвертого порядка в систему ОДУ первого порядка

Исходное дифференциальное уравнение имеет вид:

$$u^{(4)}(x) + u^{(3)}(x) + \sin(x) \cdot u(x) = e^{x^2}. \quad (1)$$

Для преобразования этого уравнения в систему ОДУ первого порядка введем новые переменные:

$$y_0 = u(x), \quad (2)$$

$$y_1 = u'(x), \quad (3)$$

$$y_2 = u''(x), \quad (4)$$

$$y_3 = u'''(x). \quad (5)$$

Тогда система ОДУ примет вид:

$$y'_0 = y_1, \quad (6)$$

$$y'_1 = y_2, \quad (7)$$

$$y'_2 = y_3, \quad (8)$$

$$y'_3 = -y_3 - \sin(x) \cdot y_0 + e^{x^2}. \quad (9)$$

## 2.2 Метод стрельбы

Метод стрельбы заключается в следующем:

1. \*\*Решение однородной системы ОДУ с разными начальными условиями для получения фундаментальных решений\*\*.

- Первое фундаментальное решение  $\phi_1(x)$  удовлетворяет условиям:

$$y_0(0) = 0, \quad (10)$$

$$y_1(0) = 0, \quad (11)$$

$$y_2(0) = 1, \quad (12)$$

$$y_3(0) = 0. \quad (13)$$

- Второе фундаментальное решение  $\phi_2(x)$  удовлетворяет условиям:

$$y_0(0) = 0, \quad (14)$$

$$y_1(0) = 0, \quad (15)$$

$$y_2(0) = 0, \quad (16)$$

$$y_3(0) = 1. \quad (17)$$

2. \*\*Решение неоднородной системы ОДУ для получения частного решения\*\*  $\psi(x)$  с начальными условиями:

$$y_0(0) = 0, \quad (18)$$

$$y_1(0) = 0, \quad (19)$$

$$y_2(0) = 0, \quad (20)$$

$$y_3(0) = 0. \quad (21)$$

3. \*\*Комбинация решений с учетом граничных условий на правой границе\*\*  $x = 1$ :

$$u(1) = 1, \quad (22)$$

$$u'(1) = 0. \quad (23)$$

Общее решение имеет вид:

$$u(x) = C_1\phi_1(x) + C_2\phi_2(x) + \psi(x), \quad (24)$$

где  $C_1$  и  $C_2$  — постоянные, определяемые из граничных условий на  $x = 1$ .

### 2.3 Определение коэффициентов $C_1$ и $C_2$

Подставляя общее решение в граничные условия, получаем систему линейных алгебраических уравнений:

$$C_1\phi_1(1) + C_2\phi_2(1) + \psi(1) = 1, \quad (25)$$

$$C_1\phi'_1(1) + C_2\phi'_2(1) + \psi'(1) = 0. \quad (26)$$

Решая эту систему методом Крамера, находим значения  $C_1$  и  $C_2$ .

### 2.4 Численное интегрирование методом Рунге-Кутты второго порядка

Для численного решения системы ОДУ используем метод Рунге-Кутты второго порядка с шагом интегрирования  $h$ . На каждом шаге  $n$  вычисляем значения:

$$k_1 = f(x_n, y_n), \quad (27)$$

$$y_{\text{temp}} = y_n + hk_1, \quad (28)$$

$$k_2 = f(x_n + h, y_{\text{temp}}), \quad (29)$$

$$y_{n+1} = y_n + \frac{h}{2}(k_1 + k_2), \quad (30)$$

где  $f(x, y)$  — правая часть системы ОДУ.

### 2.5 Реализация алгоритма

1. **\*\*Инициализация\*\***:

- Задаем начальные условия и параметры интегрирования. - Выделяем память для массивов значений переменных.

2. **\*\*Вычисление фундаментальных и частного решений\*\***:

- Последовательно интегрируем системы ОДУ для  $\phi_1(x)$ ,  $\phi_2(x)$  и  $\psi(x)$ .

3. **\*\*Определение коэффициентов\*\***:

- Вычисляем значения  $\phi_1(1)$ ,  $\phi'_1(1)$ ,  $\phi_2(1)$ ,  $\phi'_2(1)$ ,  $\psi(1)$  и  $\psi'(1)$ . - Решаем систему линейных уравнений для  $C_1$  и  $C_2$ .

4. **\*\*Построение общего решения\*\***:

- Для каждого  $x_i$  на сетке вычисляем  $u(x_i)$  по формуле общего решения.

5. **\*\*Запись результатов и анализ\*\***:

- Сохраняем результаты в файл для последующей визуализации. - Анализируем поведение решения при различных значениях шага  $h$ .

## 2.6 Исследование устойчивости и сходимости

Для оценки устойчивости и сходимости численного метода проводим эксперимент с различными значениями шага  $h$  и анализируем погрешности:

$$E_\infty = \max_i |u_{\text{числ}}(x_i) - u_{\text{точн}}(x_i)|, \quad (31)$$

$$E_2 = \sqrt{\frac{1}{N} \sum_{i=1}^N |u_{\text{числ}}(x_i) - u_{\text{точн}}(x_i)|^2}. \quad (32)$$

Строим графики зависимости погрешностей  $E_\infty$  и  $E_2$  от шага  $h$  в логарифмическом масштабе и определяем порядок сходимости метода.

## 2.7 Доказательство второго порядка точности метода Рунге-Кутты второго порядка

Рассмотрим решение обыкновенного дифференциального уравнения в точке  $x_{n+1}$  с использованием метода Рунге-Кутты второго порядка. Разложим  $y$  в ряд Тейлора в окрестности  $x_n$  до члена порядка  $h^2$ :

$$y(x_{n+1}) = y(x_n) + h \frac{dy}{dx} \Big|_{x_n} + \frac{h^2}{2} \frac{d^2y}{dx^2} \Big|_{x_n} + O(h^3). \quad (33)$$

Так как из уравнения Коши мы знаем, что  $\frac{dy}{dx} = f(y, x)$ , то для второй производной по  $x$  получаем:

$$\frac{d^2y}{dx^2} = \frac{df(y, x)}{dx} = \frac{\partial f}{\partial x} + \frac{\partial f}{\partial y} \frac{dy}{dx} = \frac{\partial f}{\partial x} + f \frac{\partial f}{\partial y}. \quad (34)$$

Таким образом, подставляя выражение для второй производной в разложение Тейлора, получаем:

$$y(x_{n+1}) = y_n + hf(y_n, x_n) + \frac{h^2}{2} \left( \frac{\partial f}{\partial x} + f \frac{\partial f}{\partial y} \right)_{(y_n, x_n)} + O(h^3). \quad (35)$$

В методе Рунге-Кутты второго порядка мы вводим промежуточный шаг  $k_2$ , который можно разложить с точностью до  $O(h^3)$  следующим образом:

$$k_2 = hf(y_n + \beta k_1, x_n + \alpha h) = h \left( f(y_n, x_n) + \alpha h \frac{\partial f}{\partial x}(y_n, x_n) + \beta k_1 \frac{\partial f}{\partial y}(y_n, x_n) \right) + O(h^3). \quad (36)$$

Теперь, подставляя  $k_2$  из этого разложения в основное выражение метода Рунге-Кутты:

$$y_{n+1} = y_n + (a + b)hf(y_n, x_n) + bh^2 \left( \alpha \frac{\partial f}{\partial x} + \beta f \frac{\partial f}{\partial y} \right)_{(y_n, x_n)} + O(h^3). \quad (37)$$

Для того чтобы метод был точным до второго порядка, необходимо, чтобы коэффициенты удовлетворяли следующим условиям:

$$a + b = 1, \quad (38)$$

$$ab = \frac{1}{2}, \quad (39)$$

$$\beta b = \frac{1}{2}. \quad (40)$$

Существует бесконечно много значений параметров  $a$ ,  $\alpha$ , и  $\beta$ , которые удовлетворяют этим условиям. Одним из возможных выборов является  $\alpha = \beta = 1$  и  $a = b = \frac{1}{2}$ . С этим выбором мы получаем классический метод Рунге-Кутты второго порядка, который формулируется следующим образом:

$$k_1 = hf(y_n, x_n), \quad (41)$$

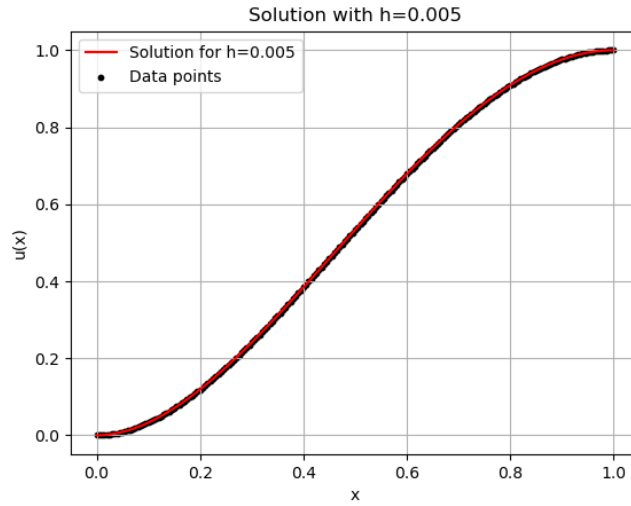
$$k_2 = hf(y_n + k_1, x_n + h), \quad (42)$$

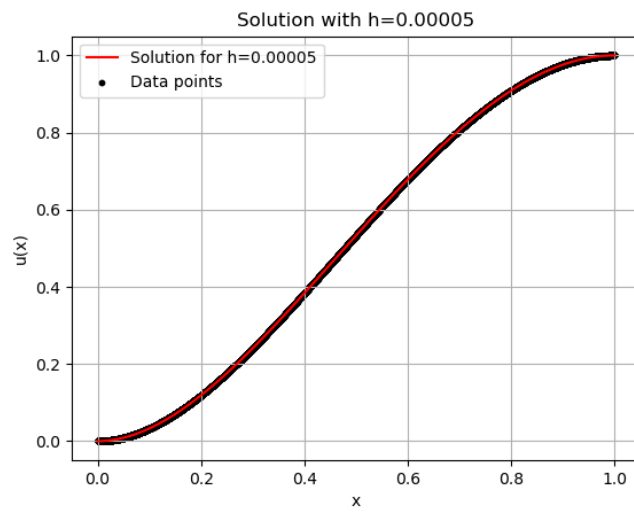
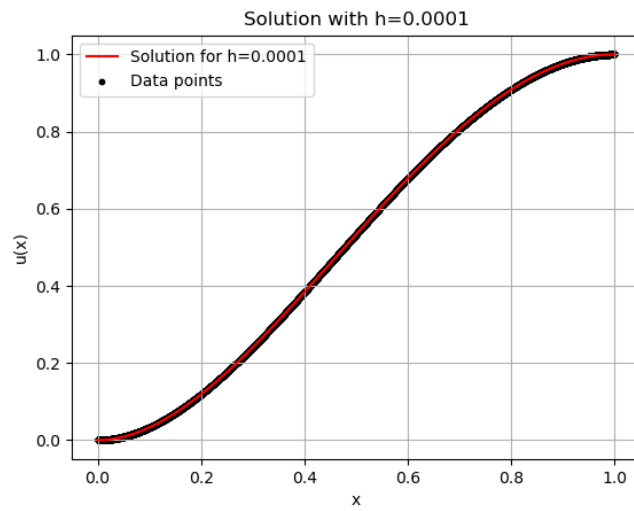
$$y_{n+1} = y_n + \frac{1}{2}(k_1 + k_2). \quad (43)$$

Этот метод имеет глобальную погрешность порядка  $O(h^2)$ , что и подтверждает его второй порядок точности.

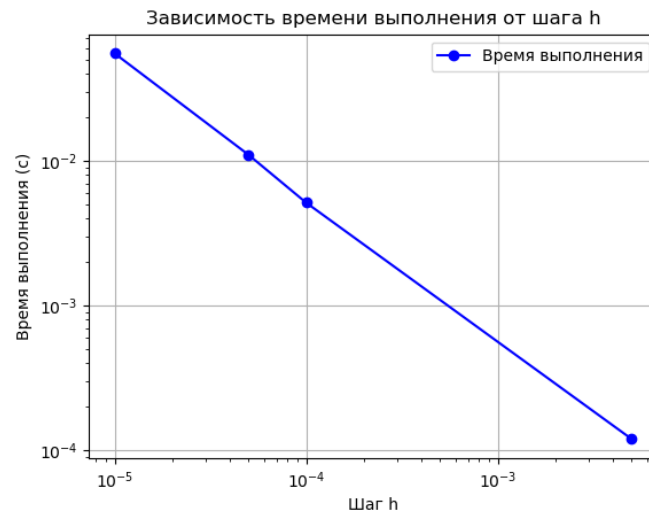
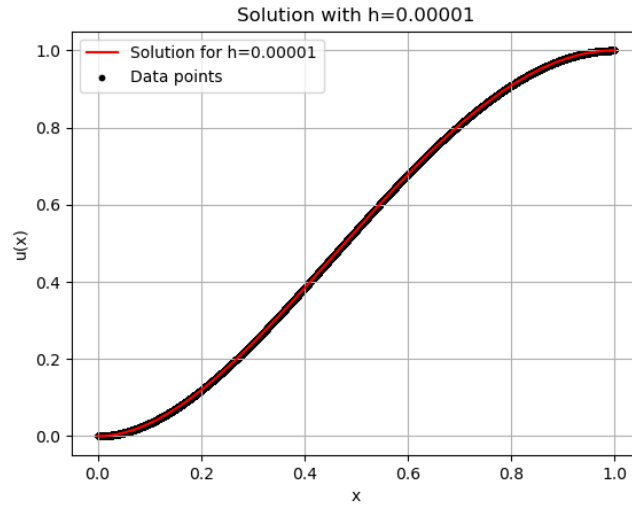
### 3 Графики зависимости $u(x)$ от $h$

Ниже приведены графики зависимости решения  $u(x)$  для различных значений шага  $h$ .









## 4 Проверка корректности программы

Для проверки корректности реализации численного метода мы используем известное аналитическое решение:

$$u(x) = \sin(x \cdot \pi) - 2x^3 + (3 + \pi)x^2 - \pi x \quad (44)$$

Проверка заключается в подстановке этого аналитического выражения

в нашу программу и сравнении результатов численного решения с точным значением функции  $u(x)$  в различных точках отрезка  $[0, 1]$ .

#### 4.1 Методика проверки

1. **\*\*Вычисление аналитического решения\*\***: В точках сетки  $x_i$  на отрезке  $[0, 1]$  аналитическое значение функции  $u(x)$  вычисляется по формуле:

$$u_{\text{exact}}(x_i) = \sin(x_i \cdot \pi) - 2x_i^3 + (3 + \pi)x_i^2 - \pi x_i$$

2. **\*\*Сравнение с численным решением\*\***: Запускается программа для расчёта численного решения  $u_{\text{num}}(x)$  в тех же точках  $x_i$ . Для каждой точки вычисляется абсолютная погрешность:

$$\text{Error}(x_i) = |u_{\text{num}}(x_i) - u_{\text{exact}}(x_i)|.$$

3. **\*\*Анализ результатов\*\***: Если значения погрешности в точках  $x_i$  малы и находятся в пределах допустимой численной погрешности метода, можно считать, что программа работает корректно.

#### 4.2 Критерии успешности проверки

Для того чтобы подтвердить корректность программы, рассчитываем нормы погрешности:

- **\*\*Максимальная погрешность\*\***:

$$E_{\infty} = \max_{x_i} \text{Error}(x_i).$$

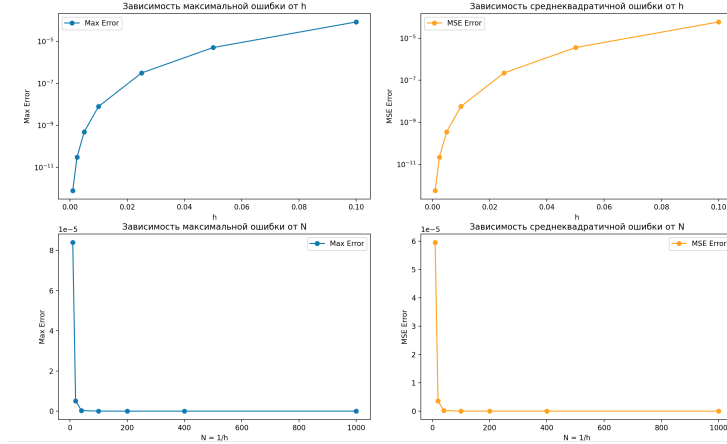
- **\*\*Среднеквадратичная погрешность\*\***:

$$E_2 = \sqrt{\frac{1}{N} \sum_{i=1}^N \text{Error}(x_i)^2},$$

где  $N$  — количество точек на сетке.

Если значения  $E_{\infty}$  и  $E_2$  малы и соответствуют ожидаемому порядку точности метода (например,  $O(h^2)$  для метода второго порядка), то это подтверждает корректность программы.

### 4.3 Графики проверки



## 5 Анализ графиков на устойчивость и сходимость

### 5.1 Метод определения порядка сходимости

Для оценки порядка сходимости численного метода мы используем значения ошибки для различных шагов  $h$ . Пусть  $O(h)$  обозначает погрешность численного метода при шаге  $h$ . Если метод имеет порядок сходимости  $p$ , то уменьшение шага в два раза должно привести к уменьшению погрешности примерно в  $2^p$  раз. Это позволяет выразить порядок сходимости  $p$  через логарифмы:

Для последовательности значений шага  $h_i$  и ошибок  $O(h_i)$  можно обобщить эту формулу следующим образом:

$$p = \frac{\log\left(\frac{O(h_i)}{O(h_{i+1})}\right)}{\log\left(\frac{h_i}{h_{i+1}}\right)},$$

где  $O(h_i)$  и  $O(h_{i+1})$  — ошибки при последовательных шагах  $h_i$  и  $h_{i+1}$  соответственно.

## 5.2 Таблицы данных

h	MSE Error	Order of Convergence (MSE Error)
0.1	5.9578256922408815e-05	4.047903593457339
0.05	3.602030548814704e-06	4.023713929318254
0.025	2.2145669030800062e-07	4.01068480636798
0.01	5.614057525831094e-09	4.00468406505628
0.005	3.4974122888689213e-10	4.002326366022702
0.0025	2.1823607543507316e-11	4.000921503150408
0.001	5.582128188154e-13	-

Таблица 1: Значения  $h$ , MSE Error, и Order of Convergence

h	Max Error	Order of Convergence (Max Error)
0.1	8.394076967965791e-05	4.048166794007503
0.05	5.074033317953308e-06	4.023847004253997
0.025	3.119282210306551e-07	4.010746061694546
0.01	7.907120291861247e-09	4.004543652160212
0.005	4.926410390737601e-10	4.002333703470704
0.0025	3.0740299195031184e-11	4.002347508590003
0.001	7.852607453173732e-13	-

Таблица 2: Значения  $h$ , Max Error, и Order of Convergence

## 5.3 Зависимость максимальной ошибки от шага $h$

На верхнем левом графике представлена зависимость максимальной ошибки от шага  $h$ . Из графика видно, что при уменьшении шага  $h$  максимальная ошибка сначала снижается, а затем начинает постепенно увеличиваться с увеличением  $h$ . Это поведение типично для численных методов, где при уменьшении шага  $h$  численное решение приближается к точному. Теоретические расчеты сходятся с практическими, так как был посчитан порядок сходимости по формуле выше.

- **Сходимость:** Уменьшение ошибки при уменьшении шага  $h$  подтверждает, что метод является сходящимся. Этот результат соответствует ожидаемому порядку точности для метода Рунге-Кутты четвертого порядка, где погрешность должна уменьшаться как  $O(h^4)$ .
- **Устойчивость:** График показывает, что для малых значений  $h$  метод остаётся устойчивым, так как ошибка остаётся в пределах допустимого уровня и не демонстрирует резких скачков.

## 5.4 Зависимость среднеквадратичной ошибки от шага $h$

На верхнем правом графике представлена зависимость среднеквадратичной ошибки (MSE) от шага  $h$ . График показывает, что при уменьшении шага  $h$  среднеквадратичная ошибка также уменьшается, но при увеличении шага она возрастает.

- **Сходимость:** Плавное уменьшение среднеквадратичной ошибки при уменьшении  $h$  подтверждает, что численный метод сходится к точному решению при уменьшении шага, что соответствует второму порядку точности метода.
- **Устойчивость:** Увеличение среднеквадратичной ошибки при увеличении шага  $h$  указывает на то, что большие значения шага могут приводить к увеличению ошибок и потенциальной потере устойчивости метода. Однако для малых значений  $h$  метод остаётся устойчивым.

## 5.5 Выводы

Анализ графиков подтверждает, что используемый численный метод обладает не менее чем вторым порядком точности и является устойчивым при малых значениях шага  $h$ . Уменьшение шага  $h$  приводит к уменьшению как максимальной, так и среднеквадратичной ошибок, что свидетельствует о сходимости метода к точному решению.

# 6 Используемые языки и библиотеки

Для решения задачи, автоматизации вычислений и построения графиков использован следующий стек технологий:

## 6.1 C++

Основная часть программы, решающая задачу методом конечных разностей, написана на языке C++.

C++ используется для:

- Выполнения численных расчетов методом Рунге-Кутты.
- Применение метода стрельбы.
- Измерения времени выполнения программы для каждого значения шага  $h$ .
- Сохранения решений в текстовые файлы для дальнейшего анализа и построения графиков.

## 6.2 Python

Для построения графиков решения и анализа времени выполнения программы используется Python. Ключевые библиотеки:

- **matplotlib** — используется для построения графиков решений системы и зависимости времени выполнения от значения шага  $h$ .
- **sys** — для работы с аргументами командной строки, передаваемыми из Makefile.

Python используется для:

- Построения графиков решений уравнения для каждого значения  $h$ .
- Построения графика зависимости времени выполнения программы от значения  $h$ .

## 6.3 Makefile

**Makefile** автоматизирует процесс компиляции, запуска программы с различными значениями  $h$ , построения графиков и записи времени выполнения. Makefile работает следующим образом:

- **Компиляция** — Makefile компилирует все необходимые файлы на C++ и создает исполняемый файл.
- **Запуск программы с разными значениями  $h$**  — Makefile запускает программу для каждого значения  $h$ , передавая аргументы в программу. Решения сохраняются в текстовые файлы.
- **Построение графиков** — после каждого запуска программы Makefile вызывает Python-скрипт, который строит график решения и сохраняет его в папку с изображениями.
- **Замер времени выполнения** — Makefile записывает время выполнения программы для каждого значения  $h$  в текстовый файл.
- **Построение графика времени выполнения** — после выполнения всех вычислений Python-скрипт строит график зависимости времени выполнения от значения  $h$  и сохраняет его в файл.